

川崎製鉄技報  
KAWASAKI STEEL GIHO  
Vol.18 (1986) No.4

---

LPG 貯蔵タンク用低温用アルミキルド厚鋼板  
Al-Killed Steel Plates of Low Temperature Service for LPG Storage Tanks

木中 良次(Ryoji Kinaka) 奥村 健人(Taketo Okumura) 寺嶋 久栄(Hisae Terashima) 皆川 章(Sho Minagawa) 中野 善文(Yoshifumi Nakano) 松本 重人(Shigeto Matsumoto)

---

要旨：

LPG タンク用鋼材として連続鋳造製 38 mm 厚の SLA 37 厚鋼板を製造し、その鋼板特性を調査した。制御圧延(KTR)および制御圧延制御冷却(MACS)鋼の脆性亀裂停止特性 Kca は一 50°C で 600 kgf/mm<sup>3/2</sup> 以上を示した。焼入れ焼戻し(QT)鋼の立向 MIG, TIG, SMAW および横向 SAW, 並びに QT, KTR および MACS 鋼の 65~115 kJ/cm の大入熱溶接 EGW の継手ボンド部特性は、vE-50°C で 7 kgf·m 以上、-50°C の COD 値 0.3 mm および Kca で 470 kgf/mm<sup>3/2</sup> 以上と良好であった。以上より、LPG タンク用鋼板に適する連続鋳造製 SLA 37 厚鋼板を OT, KTR および MACS 法により製造することが可能であることを確認した。

---

Synopsis :

Investigation has been made on the properties of continuously cast 38 mm thick SLA37 steel plates for LPG storage tanks. The crack arrest toughness KCA of the steel plates manufactured by Kawasaki Thermomechanical Rolling (KTR) and Multipurpose Accelerated Cooling System (MACS) processes was higher than 600 kgf/mm<sup>3/2</sup> at - 50°C. In vertical MIG, TIG, SAW, and horizontal SAW of steel plates manufactured by the quenching and tempering (QT) process, and in EGW with a high weld heat input of 65~115 KJ/cm of QT, KTR, and MACS steel plates, bond properties measured at the fusion line of welded joints are 7 kgf·m and over in vE-50°C, 0.3 mm and over in - 50°C COD value, and 470 kgf/mm<sup>3/2</sup> in Kca. The foregoing results proved the technical feasibility of the production of SLA37 steel plate for LPG storage tanks by using the combination of continuous casting and QT, KTR and MACS processes.

(c)JFE Steel Corporation, 2003

本文は次のページから閲覧できます。

## Al-Killed Steel Plates of Low Temperature Service for LPG Storage Tanks



木中 良次  
Ryoji Kinaka  
千葉製鉄所 管理部厚板・钢管管理室 主査(掛長)



奥村 健人  
Taketo Okumura  
本社 鉄鋼技術本部鋼材技術部 主査(課長)



寺嶋 久栄  
Hisae Terashima  
鉄鋼研究所 厚板研究部厚板研究室 主任研究員(課長)・工博



皆川 章  
Sho Minagawa  
鉄鋼研究所 厚板研究部溶接研究室



中野 善文  
Yoshifumi Nakano  
鉄鋼研究所 水島研究部第2研究室 主任研究員(課長)・Ph. D.



松本 重人  
Shigeto Matsumoto  
鉄鋼研究所 厚板研究部厚板研究室 主任研究員(掛長)

### 要旨

LPG タンク用鋼材として連続鋳造製 38 mm 厚の SLA 37 厚鋼板を製造し、その鋼板特性を調査した。制御圧延 (KTR) および制御圧延制御冷却 (MACS) 鋼の脆性亀裂停止特性  $K_{\text{ca}}$  は  $-50^{\circ}\text{C}$  で  $600 \text{ kgf/mm}^{3/2}$  以上を示した。焼入れ焼戻し (QT) 鋼の立向 MIG, TIG, SMAW および横向 SAW, ならびに QT, KTR および MACS 鋼の  $65 \sim 115 \text{ kJ/cm}$  の大入熱溶接 EGW の継手ボンド部特性は、 $\sqrt{E}_{-50^{\circ}\text{C}}$  で  $7 \text{ kgf}\cdot\text{m}$  以上、 $-50^{\circ}\text{C}$  の COD 値で  $0.3 \text{ mm}$  以上および  $K_{\text{ca}}$  で  $470 \text{ kgf/mm}^{3/2}$  以上と良好であった。以上より、LPG タンク用鋼板に適する連続鋳造製 SLA 37 厚鋼板を QT, KTR および MACS 法により製造することが可能であることを確認した。

### Synopsis:

Investigation has been made on the properties of continuously cast 38 mm thick SLA37 steel plates for LPG storage tanks. The crack arrest toughness  $K_{\text{ca}}$  of the steel plates manufactured by Kawasaki Thermomechanical Rolling (KTR) and Multipurpose Accelerated Cooling System (MACS) processes was higher than  $600 \text{ kgf/mm}^{3/2}$  at  $-50^{\circ}\text{C}$ . In vertical MIG, TIG, SAW, and horizontal SAW of steel plates manufactured by the quenching and tempering (QT) process, and in EGW with a high weld heat input of  $65 \sim 115 \text{ kJ/cm}$  of QT, KTR, and MACS steel plates, bond properties measured at the fusion line of welded joints are  $7 \text{ kgf}\cdot\text{m}$  and over in  $\sqrt{E}_{-50^{\circ}\text{C}}$ ,  $0.3 \text{ mm}$  and over in  $-50^{\circ}\text{C}$  COD value, and  $470 \text{ kgf/mm}^{3/2}$  in  $K_{\text{ca}}$ . The foregoing results proved the technical feasibility of the production of SLA37 steel plate for LPG storage tanks by using the combination of continuous casting and QT, KTR and MACS processes.

### 1 緒 言

近年の液化ガスの利用増大にともない、LPG, LNG などの備蓄増強計画が進められている。現在 LPG の大量備蓄用には低温および常圧の二重殻円筒貯槽による貯蔵方式が採用されており、その容量は 4 万 t が限界となっている。このことは、貯槽本体に用いられる鋼板が JIS G3126 に規定されている低温圧力容器用炭素鋼の SLA33B (降伏点  $33 \text{ kgf/mm}^2$ , QT 处理) 鋼が主として使用されたことから、応力除去を必要としない最大厚さ 38 mm を超えないような設計を行っていることから来ている。限られた敷地内での貯蔵効率を高めるためには、1 基当たりの貯蔵能力のアップをはかる必要があり、強度的に 1 ランク上の SLA 37 鋼材の適用により容量 5 万 5 千 t 貯槽を実現することが課題となっている。

従来 LPG 低温タンクの現場溶接には主として被覆アーク溶接およびサブマージアーク溶接が採用されてきた。しかし、タンクの大型化にともなう現場工期の短縮を図るために、現場溶接の自動化

および高能率化が急務となり、従来の溶接法の見直しを含め、エレクトロガスアーク溶接をはじめとする各種溶接工法の確立が必須課題となってきた。

ところで、最近の製鋼および厚板製造技術の進歩は著しく、製鋼工程における高清浄度化および連続鋳造化とともに、厚板製造工程においては、従来の焼入れ焼戻しによる製造法（以下 QT 法という）のほかに新たに制御圧延（以下 KTR 法という）および制御圧延制御冷却（以下 MACS 法という）による製造方法が開発され、現在実用化されている。

このような背景から、連続鋳造製 SLA 37 鋼（板厚 38 mm）の開発を目的として、下記の研究対象についての一連の試験を実施した。

- (1) 従来の QT 鋼の立向および横向溶接への各種自動溶接法の適用の検討。
- (2) KTR および MACS 鋼の基本性能、破壊特性、溶接継手性

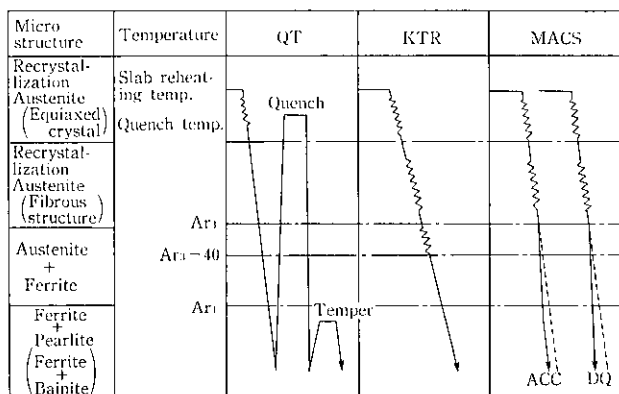
\* 昭和61年9月9日原稿受付

- 能および加工性能の確認。
- (3) 大入熱溶接における QT, KTR および MACS 鋼の溶接継手性能の確認。
- 本報告ではこれらの大要について述べる。

## 2 供試鋼板の設計の考え方

### 2.1 低温用アルミキルド厚鋼板の製造方法

製鋼および厚板製造技術の進歩とともに、低温用アルミキルド鋼の製造方法も従来の造塊法から連続铸造法、QT 法から KTR および MACS 法へとかわりつつあり、また、JISへの規格化も進められている。厚板製造における新製造法と従来法を模式的に Fig. 1 に示すが、当社においては、各製造プロセスにより製造される鋼板の特長を最大限に引き出す製造条件を確立している。



QT: Quench temper

KTR: Kawasaki thermomechanical rolling

MACS: Multipurpose accelerated cooling system

ACC: Accelerated (Controlled) Cooling

DQ: Direct Quenching

Fig. 1 Schematic diagram of manufacturing process of SLA 37

### 2.2 低温用アルミキルド鋼の大入熱溶接対策

LPG 貯蔵用 SLA 37 鋼の成分系は、Si-Mn 鋼を基本成分に各種合金元素を母材および溶接継手部の低温靶性の向上のために添加した低 C の成分系となっている。なかでも低温靶性の優れている成分系には、Cu-V-Ni 系と Nb 系の 2 成分系がある。それぞれの成分系の特徴を Table 1 に示す。低 C 系の採用により、母材の低温靶性と同時に溶接部の靶性を向上させることができる。しかし、大入熱溶接部は、粗粒化して靶性劣化を生じるので、その靶性を  $-45^{\circ}\text{C}$  以下で確保するにはこれだけでは不十分である。その対策として、REM, Ti などの添加による微細析出物を利用した HAZ の結晶粒微細化が有効と考えられる。

さらに、MACS 鋼においては大入熱特性の向上を期待し、低 Si 化をはかった。溶接継手部靶性におよぼす Si の影響<sup>1)</sup>の一例を Fig. 2 に示すように、0.1~0.13 wt% 程度で Si 量が溶接継手部の靶性に対して最適となっている。ただし、JIS に規定されている SLA 37 鋼の Si 量は、0.15~0.55 wt% であり実際には 0.16~0.18 wt% の範囲を目標とした。また、溶接継手部の靶性におよぼす Nb の影響<sup>2)</sup>は Fig. 3 に示すように、0.025 wt% 以上の Nb 添加で靶性が劣化し、0.020 wt% 以下の Nb 添加が良好といえる。

Table 1 Characteristics of chemical composition

Process	Type of chemical composition	Purpose of alloying elements	Characteristic
QT	Low C-Cu-V-Ni	<ul style="list-style-type: none"> <li>Cu, V and Ni additions contribute to raising the strength.</li> <li>Ni addition improves low temperature toughness.</li> <li>REM and Ti additions prevent the toughness deterioration of the high heat input weld joint.</li> </ul>	The carbon equivalent is slightly high value because of Cu, V and Ni additions, but the low temperature toughness is superior.
KTR			
MACS	Low C-Nb	<ul style="list-style-type: none"> <li>Nb addition contributes to raising the strength.</li> <li>The effect of refining the grain size by Nb addition improves the low temperature toughness.</li> <li>REM and Ti additions and the reduced Si content prevent the toughness deterioration of the high heat input weld joint.</li> </ul>	The carbon equivalent is low because of raising the strength through the Nb addition only, and the weld ability is superior.

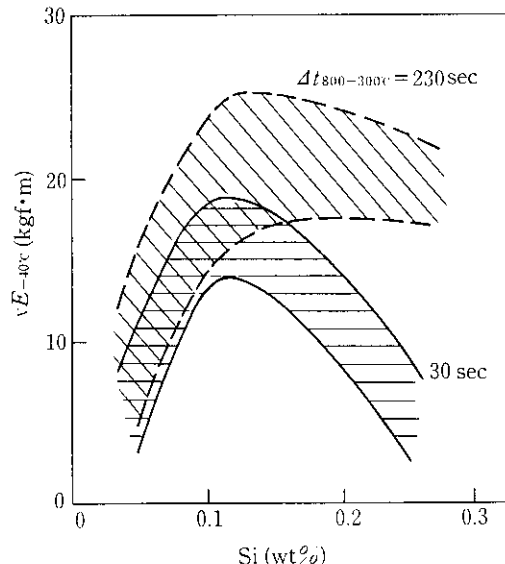


Fig. 2 Effect of Si content on absorbed energy at  $-40^{\circ}\text{C}$  of synthetic heat affected zone of 0.09%C-1.4%Mn-Ti-REM steel

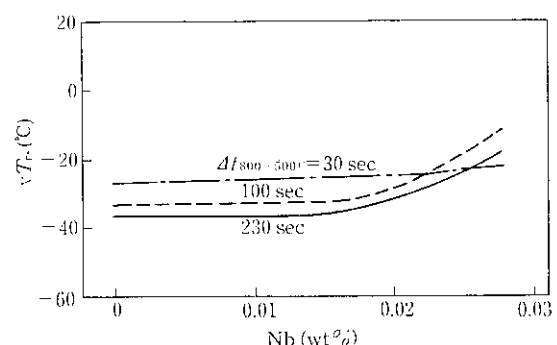


Fig. 3 Effect of Nb content on V notch charpy fracture appearance transition temperature of synthetic heat affected zone of 0.07%C-1.5%Mn-Ti-REM steel



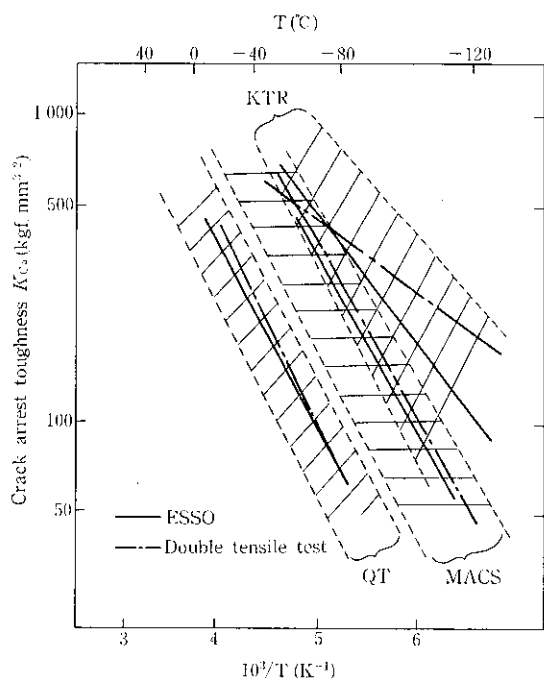


Fig. 4 Relation between crack arrest toughness  $K_{ca}$  and test temperature

### 3.3 疲労特性

供試鋼板の疲労特性を調査するため疲労き裂伝播速度および下限値 ( $\Delta K_{th}$ ) を求めた。測定結果を Table 5 に示すが、供試鋼間にには有意差は認められなかった。なお、 $\Delta K$  の計算には下式を用いた (ASTM E647-83<sup>4)</sup> に準拠)。

$$\Delta K = \frac{AP}{B\sqrt{W}} \times \frac{(2+\alpha)}{(1-\alpha)^{1.5}} (0.886 + 4.64\alpha - 13.32\alpha^2 + 14.72\alpha^3 - 5.6\alpha^4) \quad (4)$$

$$\frac{da}{dN} = C(\Delta K)^m$$

ここで、

$\Delta K$ : 応力拡大係数の範囲

$AP$ : 荷重範囲

$B$ : 試験片厚

$W$ : 試験片幅

$a$ : き裂長さ

$N$ : くり返し数

$c, m$ : 材料定数

$\alpha$ :  $a/W$

また、QT 鋼と MACS 鋼については  $\Delta K_{th}$  を求めたが、それぞれ、 $19 \text{ kgf/mm}^{3/2}$  および  $16 \text{ kgf/mm}^{3/2}$  であった。

Table 5 The value of  $m$  and  $C$  obtained in fatigue crack propagation tests

Steel	Material constants	
	$m$	$C$
QT	3.20	$5.71 \times 10^{-11}$
KTR	3.06	$1.04 \times 10^{-10}$
MACS	3.36	$3.35 \times 10^{-11}$

## 4 溶接継手性能

### 4.1 溶接条件

溶接継手性能の調査に用いた供試材の溶接条件を Table 6 に示す。また、鋼板のロール方向は実施工に倣い、SAW については溶接線方向、MIG, TIG, EGW および SMAW に対しては溶接線と直角方向とした。

### 4.2 溶接継手部の基本性能

溶接継手の引張、曲げおよびVノッチシャルピー衝撃試験結果を Table 7 にまとめて示す。各継手引張強さはすべて母材規格 (JIS G3126 SLA37) を十分満足している。曲げ結果もすべて良好な結果となった。また、各継手の  $-50^\circ\text{C}$  の吸収エネルギーはすべて  $5.0 \text{ kgf}\cdot\text{m}$  以上と良好な値となっている。大入熱溶接の一種である EGW 継手部の  $-50^\circ\text{C}$  における吸収エネルギーは各供試鋼板の溶接金属、ボンド部および HAZ 部とも Backing side で  $10 \text{ kgf}\cdot\text{m}$  以上、Finishing side で  $7.0 \text{ kgf}\cdot\text{m}$  以上、 $\sqrt{T_{rs}}$  についてもすべて  $-50^\circ\text{C}$  以下と良好であった。

### 4.3 溶接継手部の破壊特性

各溶接継手  $-50^\circ\text{C}$  におけるボンド部、HAZ 部および溶接金属 (EGW) の COD 試験結果、ならびにボンド部のディープノッチおよび ESSO 試験結果を Table 8 に示す。各溶接継手の COD 値  $\delta_c$  はいずれも  $0.2 \text{ mm}$  以上であり、ボンド部の  $\delta_c$  は  $0.3 \text{ mm}$  以上、HAZ 部の  $\delta_c$  は  $1.0 \text{ mm}$  以上と良好であった。

ボンド部のディープノッチ試験結果より、真の破断応力はいずれも公称応力を十分上まわるものであった。また周応力が作用する縦継手である EGW 継手ボンドの破壊靭性値  $K_c$  は  $436 \text{ kgf/mm}^{3/2}$  以上の値を示した。

KTR 鋼、MACS 鋼の EGW 継手ボンド部および QT 鋼の横向 SAW 継手ボンド部について行った ESSO 試験結果は、Table 8 に示したように、A 種温度で  $-66^\circ\text{C}$  以下と母材相当以上の結果を示した。また、溶接継手ボンド部にき裂を伝播させようとしたがいざれの場合もき裂は、ボンド部にそって伝播せず母材にそれで停止した。き裂がボンド部を直進しないで母材にそれることは、き裂の応力拡大係数が小さい段階で母材に入ることより、き裂の伝播停止の観点からすると好ましいものである。き裂がボンドにそって伝播しないことの主因として溶接残留応力が考えられる。

次に LPG 貯槽を製作した場合の脆性き裂の発生について以下に検討する。貯槽における最大応力は円周応力として生じ、高さ方向の応力はその  $1/2$  程度と考えられるので、高さ方向の溶接継手について考える。EGW 継手を考えたとき、LPG 温度より幾分低い  $-50^\circ\text{C}$  における COD の最低値は溶接金属において得られたが、その値は  $0.2 \text{ mm}$  であった。ボンドにおける COD の値の最低値は  $0.3 \text{ mm}$  以上あったが、ここでは溶接金属の最低の COD 値  $0.2 \text{ mm}$  を用いて考察する。

貯槽の溶接継手としては、脆性破壊の観点から最も厳しい板厚  $38 \text{ mm}$  をとり、角変形として  $15 \text{ mm}/1000 \text{ mm}$ 、目違い量として  $5 \text{ mm}$  を仮定する。このような角変形、目違い量は、実施工技術を考えると十分安全側の想定である。

COD を用いた脆性破壊発生に対する欠陥の評価方法としては、日本溶接協会 WES 2805<sup>5)</sup> の方法を用いる。

想定欠陥に作用する歪  $e$  は、次式で与えられる。

Table 6 Welding conditions

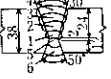
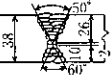
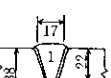
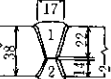
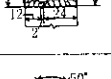
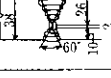
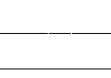
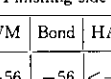
Welding method	Steel	Welding material	Side	Current (A)	Voltage (V)	Speed (cm/min)	Heat input (kJ/cm)	Shape of groove
MIG	QT	KM-3N 1.2 mmφ	Back	126~131	21.0~22.0	5.9~5.2	26.8~33.0	
			Finish	122~123	21.5~22.0	6.5~5.4	24.4~30.0	
TIG	QT	KT-50 1.2 mmφ	Back	290~288	10.0~10.5	5.5~4.9	31.3~37.0	
			Finish	300~280	10.0~10.5	5.5~4.9	32.8~35.9	
EGW	QT	EG-51S 1.6 mmφ	Back	380	40	8.5	107.3	
	KTR		Finish	380	40	13.2	69.1	
	MACS		Back	480	26.0	40.0	18.7	
SAW	QT	KW-50C KF-400H	Back	480	26.0	40.0	18.7	
			Finish	480	26.0	40.0	18.7	
SMAW	QT	KS-81LT 4.0 mmφ	Back	160	25.0	7.2	33.3	
			Finish	148	24.0	6.3	33.6	

Table 7 Mechanical properties of welded joints

Welding method	Process	Tensile test*		Bend test		V notch charpy toughness												
		TS (kgf/mm <sup>2</sup> )	El (%)	Fracture location	Side bend	Charpy absorbed energy (kgf·m)*						v T <sub>cs</sub>						
						Backing side			Finishing side			Backing side			Finishing side			
						WM	Bond	HAZ	WM	Bond	HAZ	WM	Bond	HAZ	WM	Bond	HAZ	
MIG	QT	54.7	21.5	WM	Good	38.1	Good	10.1 (47)	10.7 (4)	26.1 (3)	13.8 (32)	13.7 (38)	28.0 (0)	-52	-55	-80	-56	-56 < -80
TIG	QT	56.1	17.3	WM	Good	40.4	Good	28.5 (7)	23.4 (22)	28.5 (3)	21.8 (22)	24.5 (12)	26.8 (3)	<-80	<-80	<-80	<-80	<-80
	QT	57.1	44.7	HAZ-BM	Good	26.2	Good	13.2 (28)	18.5 (28)	23.8 (8)	15.3 (20)	10.0 (47)	20.9 (20)	-62	-60	<-80	<-80	<-80
EGW	KTR	57.0	40.7	HAZ-BM	Good	18.7	Good	12.2 (30)	11.8 (38)	18.6 (28)	15.0 (15)	7.3 (43)	12.7 (45)	-70	-57	-73	-75	-55
	MACS	54.3	43.0	HAZ-BM	Good	17.5	Good	11.6 (25)	18.8 (27)	28.7 (0)	15.2 (10)	26.0 (13)	28.8 (0)	-74	-58	<-80	<-80	<-80
SAW	QT	56.6	45.5	HAZ-BM	Good	21.5	Good	5.4 (50)	15.0 (28)	24.6 (0)	6.4 (47)	17.9 (18)	25.3 (0)	-50	-65	<-80	-55	-57 < -80
SMAW	QT	57.5	48.9	HAZ-BM	Good	18.1	Good	14.8 (28)	21.5 (13)	27.3 (0)	18.4 (17)	21.7 (17)	27.3 (3)	-62	<-80	<-80	-80	-75 < -80

\* Mean value of 2 test pieces

\*\* Mean value of 3 test pieces, Test temperature -50°C, ( ) Crystallinity percentage

Table 8 Fracture toughness of welded joints\*

Welding method	Process	Three point bending COD test			Deep notch test (Bond)		ESSO test (Bond)			
		$\delta_c$ (mm)		$\sigma_{max}$ (kgf/mm <sup>2</sup> )	$K_c$ (kgf/mm <sup>1.5</sup> )	$K_{cs}$ (kgf/mm <sup>1.5</sup> )	A	G		
		WM	Bond	HAZ					(°C)	(°C)
MIG	QT	0.651	>1.856	60.2	601.9					
TIG	QT	0.508	>1.882	59.1	591.0					
EGW	QT	0.201	0.335	>1.843	51.4	525.5				
EGW	KTR	0.412	0.504	>1.676	47.8	489.1	500	<-100	<-100	
EGW	MACS	0.204	1.253	>1.824	42.6	435.6	480	-72	-116	
SAW	QT	1.171	>1.899	47.9	489.7	470	-66	-104		
SMAW	QT	>1.890	>1.330							

\* Test temperature, -50°C

$$e_2 = e_1 + e_2 + e_3$$

$e_1$  は境界力による歪であるが、ここでは仕様応力として 14 kgf/mm<sup>2</sup> を仮定すると、 $e_1 = 6.67 \times 10^{-4}$  となる。

$e_2$  は溶接残留応力による歪であり、降伏歪  $e_y$  の 0.6 倍で与えられ  $e_2 = 1.06 \times 10^{-3}$  となる。

$e_3$  は縫手形状による歪であるが、角変形、目違い量を上記のように設定すると、 $e_3 = 1.05 \times 10^{-3}$  となる。以上より歪  $e = 2.28 \times 10^{-3}$  が得られる。

COD 値  $\delta$  と歪  $e$  は欠陥特性寸法  $a$  と次の関係があるとされている。

$$\delta = 3.5e\bar{a}$$

したがって、COD として 0.2 mm を仮定すると  $2\bar{a} = 50$  mm が求まる。この板厚貫通欠陥を破壊力学的に等価な表面欠陥に換算すると、深さ  $b = 0.15 t = 5.7$  mm とした時の表面欠陥長さ  $2a$  は無限大となり、このような大きな欠陥は非破壊検査で容易に検出できる欠陥であり、本実験における供試材を用いて製作される LPG 貯蔵タンクは十分な安全性を有するものであることが期待できる。

#### 4.4 溶接継手部の疲労き裂伝播性能

Fig. 5 に一例として QT 38 mm 鋼の EGW 継手部における疲労伝播速度  $da/dN$  (mm/cycle) と応力拡大係数  $\Delta K$  (kgf/mm<sup>3/2</sup>) の関係を示す。溶接金属、ボンド部および HAZ 部における両者の関係は、母材の関係を示す範囲内に存在した。他の鋼材および溶接継手についても同様の結果が得られた。Table 9 に各種溶接方法で製

造した鋼材の疲労き裂伝播試験で得られた材料定数  $C$  および  $m$  の値をまとめて示す。疲労き裂伝播速度  $da/dN$  (mm/cycle) と応力拡大係数範囲  $\Delta K$  (kgf/mm<sup>3/2</sup>) の間の関係として、本供試材の平均として求められている  $da/dN = 1.4 \times 10^{-10} (\Delta K)^{3.08}$  を用いると、板厚貫通き裂が存在し、1 日に 2 回内容物の完全な出し入れを行うとすると 10 年で 29 000 回程度の応力振幅があるので、初期き裂として全長 34 mm の亀裂の存在が許容できることになる。これを現実の場合の存在形態である表面欠陥に置き換えると、深さ 10 mm、長さ 110 mm 程度のきわめて大きなものとなる。この結果においても供試材の安全性が確認された。

## 5 結 言

大型 LPG 貯蔵タンク用鋼板として、大入熱特性を具備する連続鋳造製 38 mm 厚の SLA 37 厚鋼板を製造し、その母材および溶接継手部特性を調査した。その結果、次のことがわかった。

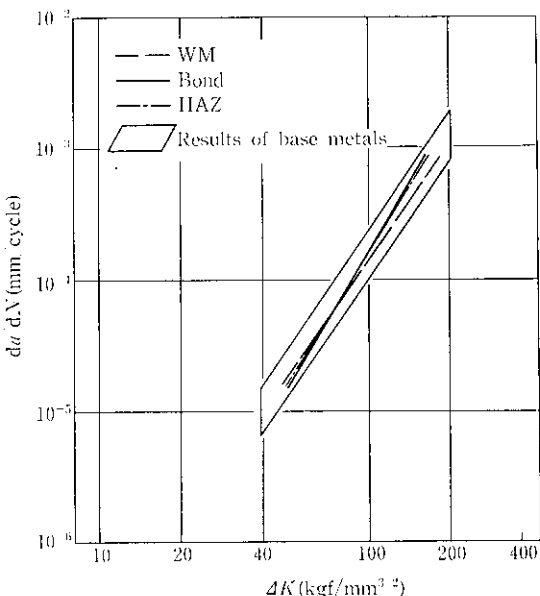


Fig. 5 Relationship between fatigue crack propagation rate  $da/dN$  and the range of stress intensity factor  $\Delta K$  at EGW high heat input welding joints of steel plates produced by QT process

Table 9 The values of  $m$  and  $C$  obtained in fatigue crack propagation tests

Welding method	Process	Notch location	Material constants	
			$m$	$C$
MIG	QT	WM	2.79	$4.01 \times 10^{-10}$
		Bond	3.07	$1.19 \times 10^{-10}$
		HAZ	3.23	$5.89 \times 10^{-11}$
TIG	QT	WM	3.48	$2.01 \times 10^{-11}$
		Bond	3.37	$3.15 \times 10^{-11}$
		HAZ	3.37	$3.31 \times 10^{-11}$
EGW	QT	WM	2.98	$1.60 \times 10^{-10}$
		Bond	3.45	$2.23 \times 10^{-11}$
		HAZ	3.53	$1.50 \times 10^{-11}$
EGW	KTR	WM	2.96	$2.43 \times 10^{-10}$
		Bond	3.04	$1.81 \times 10^{-10}$
		HAZ	3.44	$2.38 \times 10^{-11}$
EGW	MACS	WM	3.27	$4.83 \times 10^{-11}$
		Bond	3.44	$2.43 \times 10^{-11}$
		HAZ	3.10	$1.28 \times 10^{-10}$
SAW	QT	WM	3.41	$3.33 \times 10^{-11}$
		Bond	2.91	$2.48 \times 10^{-10}$
		HAZ	3.30	$4.15 \times 10^{-11}$

(1) QT, KTR および MACS 鋼の母材韌性は良好で、吸収エネルギーは C 方向  $-60^{\circ}\text{C}$  すべて 20 kgf·m 以上、COD 値は C 方向  $-50^{\circ}\text{C}$  すべて 1.4 mm 以上であった。特に KTR および MACS 鋼の脆性き裂伝播停止特性は、ESSO および二重引張試験による  $K_{\text{ca}}$  ( $-50^{\circ}\text{C}$ , C 方向) で  $600 \text{ kgf/mm}^{3/2}$  以上を示し、LPG 貯蔵タンク用鋼板の要求仕様を十分満足している。

(2) QT 鋼の立向 MIG, TIG, SMAW および横向 SAW の継手特性は、ボンドおよび HAZ 部において  $\sqrt{E}_{-50^{\circ}\text{C}}$  すべて 10 kgf·m 以上、 $-50^{\circ}\text{C}$  の COD 値すべて 0.5 mm 以上と良好で LPG 貯蔵タンクの施工法として可能である。

(3) 大入熱溶接 (EGW, 入熱量 65~115 kJ/cm) における QT, KTR および MACS 鋼の継手性能は、 $-50^{\circ}\text{C}$  のボンド部において  $\sqrt{E}_{-50^{\circ}\text{C}}$  で 7 kgf·m 以上、COD 値で 0.3 mm 以上および ESSO 試験の  $K_{\text{ca}}$  で  $480 \text{ kgf/mm}^{3/2}$  以上と良好で、LPG 貯蔵タンクの側板立向溶接に EGW 溶接が可能といえる。

以上のことから、将来考えられる LPG 貯蔵タンクの各種溶接法に適する連続鋳造製の QT, KTR および MACS 鋼の製造が可能であることが確認された。

## 6 謝 辞

本報告は、奥村敏恵東京大学名誉教授（現東京電気大学教授）のもとに行った川崎重工業株式会社と川崎製鉄との共同研究の一部である。

本研究実施にあたり、長期にわたり終始ご懇意なご指導をしていただいた奥村教授ならびに本研究の遂行において多大なるご協力かつ貴重な助言をいただいた川崎重工業株式会社藤城教能氏、田中正明氏、黒瀬義幸氏に深甚なる謝意を表します。

## 参 考 文 献

- 天野慶一、志賀千光、田中智大：「低温用構造物への TMCP 鋼の適用」、日本溶接協会船舶・鉄鋼海洋構造部会（1983）、私信
- British Standards Institution: BS 5762, (1979)
- 日本溶接協会規格：「低温用圧延鋼板判定基準」、WES 3003, (1983)
- American Society for Testing and Materials: E 647, (1983)
- 日本溶接協会規格：「溶接継手のぜい性破壊発生に対する欠陥の評価方法」、WES 2805, (1980)